

УДК 548.571;548.4

©1995

СОЗДАНИЕ КАТИОННЫХ ФРЕНКЕЛЕВСКИХ ДЕФЕКТОВ В KBr-Li

M.M. Тайиров, E.A. Васильченко, З.А. Жумабеков

Ошский государственный педагогический институт,
714000, Ош, Киргизия

(Поступила в Редакцию 21 марта 1994 г.

В окончательной редакции 11 января 1995 г.)

В кристаллах KBr-Li, подвергнутых механической деформации и радиационным воздействиям, обнаружена новая полоса люминесценции 4.85 eV. Свечение интерпретировано как излучательный распад электронных возбуждений, локализованных около междоузельных ионов Li⁺. Измерен спектр создания Li⁺ ВУФ-радиацией при 4.2 К и обсужден механизм создания катионных френкелевских дефектов при распаде экситонов, локализованных около ионов лития.

1. Для щелочно-галоидных кристаллов (ШГК) давно предполагается радиационное создание не только анионных френкелевских дефектов (АФД) (*F*, *H* и α , *I*-пар), но и катионных френкелевских дефектов (КФД) (V_F , i_c^0 , v_c^- , i_c^+ -пар) [1]. Однако поиск и исследования КФД в ШГК были начаты гораздо позже, чем исследование АФД [2-4].

Традиционно используемые для изучения АФД оптические методы почти неприменимы для изучения КФД. Одиночную анионную вакансию (v_a^+) в ШГК легко обнаружить по характерному поглощению окружающих ее галоидных ионов (α -центры), а поглощение ионов галоида около катионных вакансий (v_c^-) лежит, вероятно, в области собственно-го поглощения ШГК и не может быть зарегистрировано оптическими методами.

Если одиночные междоузельные атомы и ионы (*H*- и *I*-центры) галоида легко регистрируются по возникающему при облучении характерному поглощению, то поглощение междоузельных ионов щелочного металла (i_c^+) ожидается в фундаментальной области спектра и не может быть легко выделено на фоне собственного поглощения. Поглощение междоузельных атомов щелочного металла (i_c^0) следует ожидать в облученных ШГК в ближней инфракрасной области спектра, где оно должно сильно перекрываться с поглощением *F*-центров и агрегатных электронных центров окраски.

Можно ожидать, что поглощение окружающих i_c^+ -ионов галоида находится в области прозрачности бездефектного кристалла. Однако соответствующие эксперименты до сих пор не осуществлены. Поэтому особый интерес представляет разработка методики обнаружения и слежения за междоузельными катионами. Возможность радиационного создания v_c^- (при 80 К) и $v_a^+ v_c^-$ (при 300 К) в чистых ШГК обнаружена измерениями ионной проводимости [5].

Возможность создания КФД в ШГК также была подтверждена экспериментами по радиационному созданию V_F -центров ($v_c^- e^+$), регистрируемых методом электронного парамагнитного резонанса [6].

Создание ШГК собственных междоузельных катионов пока не удалось убедительно продемонстрировать экспериментальным путем. Однако для активированных ШГК индуцированное облучением смещение активатора из регулярных катионных узлов кристалла обнаружено с достоверностью. Для кристаллов, активированных ионами Ag^+ , после рентгеновского облучения были обнаружены люминесцирующие B -центры (Ag_a^- -центр представляет собой отрицательно заряженный ион серебра в анионном узле) [7]. Образование Ag_a^- -центра происходит в результате смещения иона серебра из катионного узла решетки в анионный узел, т. е. в каждом акте создания Ag_a^- -центра вместе с ним образуется и v_c^- [8].

Для примесных кристаллов KI-Li и KCl-Li с применением методов измельчения и одноосного сжатия кристаллов обнаружена [9,10] новая полоса излучения с максимумом 4.63 eV в KI-Li и 3.3 eV в KCl-Li , которая приписана свечению экситонов около междоузельных ионов Li^+ . Была определена полоса возбуждения этого свечения, которая расположена в длинноволновом хвосте собственной полосы поглощения. При механическом воздействии на кристаллы малые по размеру катионные примесные ионы покидают катионные узлы кристаллической решетки и образуются Li^+ -центры и v_c^- [10].

Продолжая исследования, проведенные на KI-Li [9] и на KCl-Li [10], в настоящей работе мы экспериментально изучили оптическими методами создание примесных катионных дефектов Френкеля после механического и радиационного воздействия на KBr-Li и впервые для ШГК измерили при 4.2 К спектр создания ВУФ-радиацией междоузельных ионов Li^+ .

2. Объектами наших исследований являлись кристаллы KBr-Li , выращенные в вакууме методом Стокбаргера из солей, очищенных по специальному разработанной в Институт физики АН Эстонии методике [11]. Содержание основных примесей было на уровне 10^{-6} – 10^{-8} молярных долей. Для KBr в качестве активатора использовался LiBr , ранее выращенный методом Стокбаргера. В шихту закладывалось 0.3 mol.% LiBr . Коэффициент распределения ионов Li^+ между расплавом и кристаллом составляет в KBr 0.023 [12].

Экспериментальная установка подробно описана в [9,13,14]. Облучение кристаллов осуществлялось свечением дейтериевой лампы типа ЛД (400) через вакуумный монохроматор ВМР-2 или рентгеновскими лучами ($i = 4 \text{ mA}$, $U = 4 \text{ kW}$) от установки АРОС при температуре 4.2 К. Спектры люминесценции измерялись на установке с монохроматором МДР-2 и фотоэлектронным умножителем ФЭУ-106. В спектры возбуждения и свечения введены соответствующие поправки.

3. Спектры рентгенolumинесценции (РЛ) в KBr-Li при 80 К и более высоких температурах были изучены Валбисом [15]. Появление в спектре РЛ кроме слабой синглетной и триплетной полос свечения автолокализованного экситона новой полосы излучения с максимумом 2.65 eV в KBr-Li связывалось с введением ионов Li^+ , т. е. с излучением локализованных околоводородных экситонов.

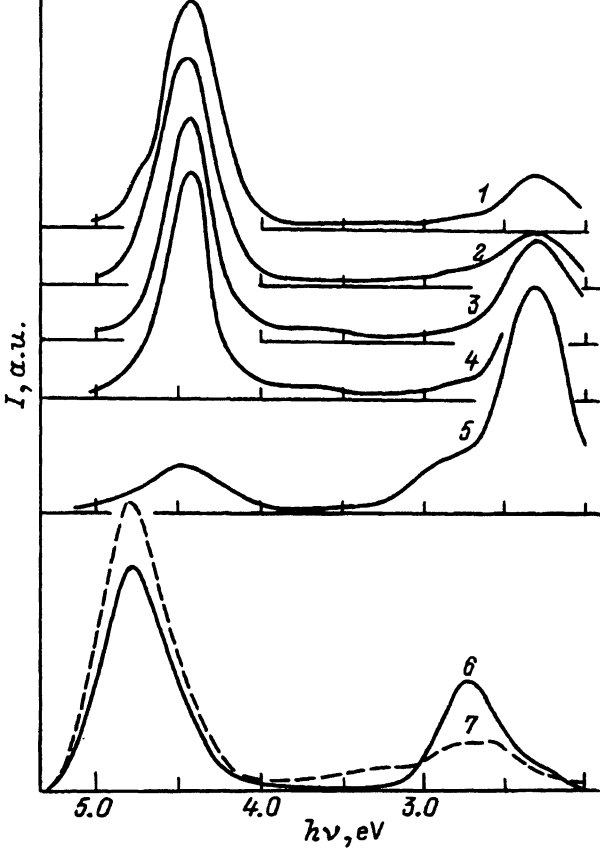


Рис. 1. Спектры рентгенолюминесценции (1), туннельной люминесценции образца, облученного X -лучами при 4.2 К (3), электронно-рекомбинационной люминесценции при стимуляции в F -полосе поглощения образца, облученного X -лучами при 4.2 К (4), фотолюминесценции при возбуждении фотонами 7.5 еВ (2), 7.0 еВ (5), 6.65 еВ до деформации (6) и после деформации при 300 К (7) кристалла KBr-Li при 4.2 К.

На рис. 1 приведены измеренные нами спектры РЛ, фотолюминесценции, электронно-рекомбинационной (при стимуляции фотонами X -облученного при 4.2 К кристалла в F -полосе поглощения) люминесценции (ЭРЛ) и туннельной (X -облученного при 4.2 К кристалла) люминесценции (ТЛ) кристалла KBr-Li при 4.2 К. В спектрах люминесценции KBr-Li кроме полос свечения синглетного (4.42 еВ) и триплетного (2.28 еВ) автолокализованных экситонов, локализованного околоводородного экситона (2.75 еВ) наблюдается новая полоса свечения с максимумом 4.85 еВ. Эти полосы люминесценции возбуждаются в различной степени при разных возбуждениях.

Из спектров отражения и возбуждения свечения локализованных около лития экситонов (2.75 еВ) и новой полосы излучения (4.85 еВ), приведенных на рис. 2 (кривые 1–3), следует, что эти полосы люминесценции в KBr-Li возбуждаются в основном в области длинноволновой части экситонной полосы поглощения (6.5–6.75 еВ). В этой области

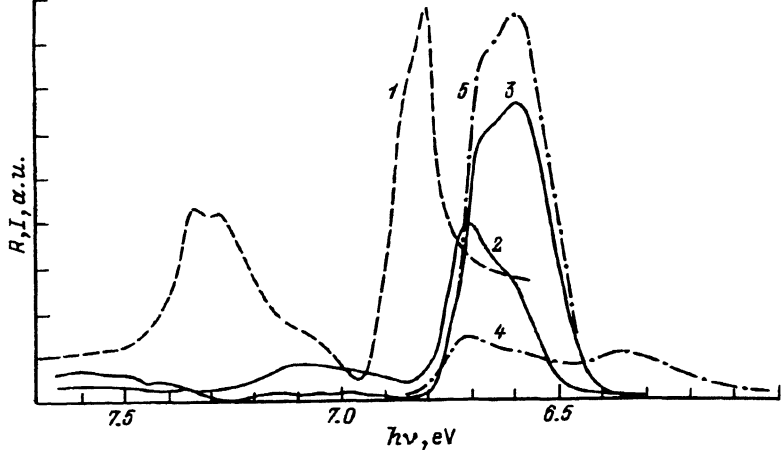


Рис. 2. Спектры отражения (1), возбуждения свечения 2.65 eV (2, 4) и 4.85 eV (3, 5) до деформации (2, 3) и после деформации при 300 К (4, 5) кристалла KBr-Li при 4.2 К.

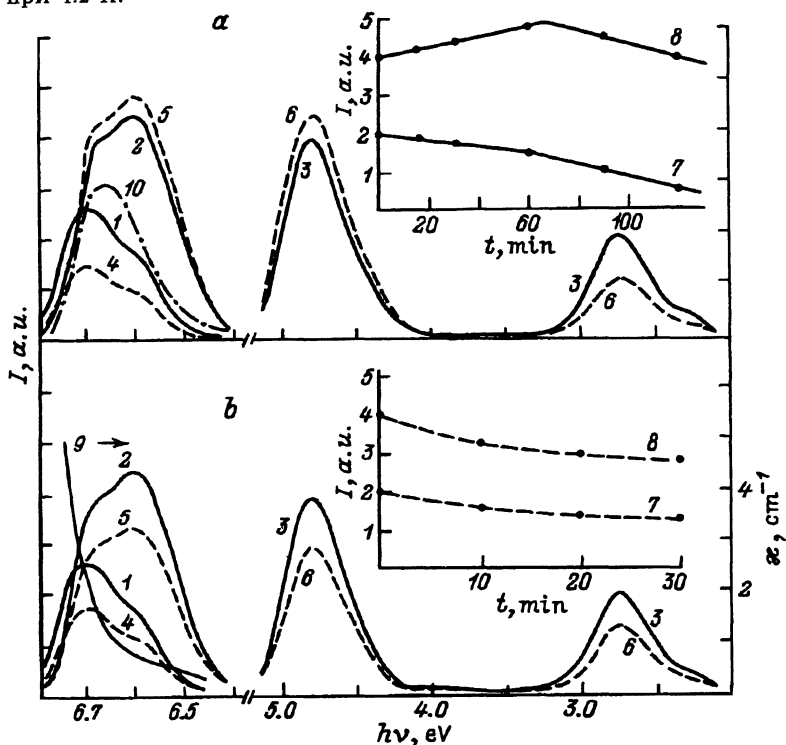


Рис. 3. Спектры возбуждения свечения 2.75 eV (1, 4), 4.85 eV (2, 5), излучения при возбуждении фотонами 6.65 eV (3, 6) кристалла KBr-Li при 4.2 К до облучения (1-3) и после облучения фотонами 6.65 eV (4-6) в течение 90 min (а) или рентгеновскими лучами в течение 30 min (б); дозовая зависимость изменения интенсивности полос излучения 2.75 eV (7) и 4.85 eV (8) при облучении фотонами 6.65 eV (а) или рентгеновскими лучами (б) при 4.2 К; спектры поглощения длинноволнового края фундаментального поглощения KBr (9) и создания Li⁺-центров в KBr-Li при 4.2 К (10).

спектра коэффициент поглощения изменяется от $\varkappa = 0.5$ до 5 см^{-1} (крича 9 на рис. 3, б), т. е. поглощение фотонов происходит по всему объему кристалла. Следовательно, примесные ионы Li^+ и новые дефекты, ответственные за полосы излучения 4.85 eV , в $\text{KBr}-\text{Li}$ распределены по всему объему кристалла.

Механические воздействия (деформационное напряжение), созданные при выкальвании кристаллов, как и в $\text{KCl}-\text{Li}$ [10], могут привести к выходу примесных ионов Li^+ из катионных узлов решетки в междоузлия KBr . Для усиления деформационного напряжения в $\text{KBr}-\text{Li}$ нами применено одноосное сжатие кристаллов. Деформация осуществлялась в направлении кристаллической оси [100] со скоростью 0.05 mm/s до $\varepsilon = 4\%$ при температуре 300 K . Такое одноосное сжатие кристаллов должно увеличить деформационное напряжение по всему объему кристалла, что должно повысить вероятность выхода примесных ионов Li^+ из катионных узлов решетки и уменьшить число ионов Li^+ в узлах решетки.

Поэтому в спектре деформированного кристалла $\text{KBr}-\text{Li}$ должны наблюдаться ослабление интенсивности свечения 2.75 eV и относительное усиление интенсивности свечения 4.85 eV при возбуждении в длинноволновом хвосте собственной полосы поглощения. Эксперимент полностью подтвердил наше предположение (ср. кривые 6, 7 на рис. 1; и ср. кривые 2, 4 и 3, 5 на рис. 2). Антибатное поведение полос излучения 2.75 и 4.85 eV свидетельствует о том, что новыми дефектами могут быть междоузельные ионы Li_i^+ или v_c^- .

Как отмечено выше, поглощение или возбуждение ионов галоида около v_c^- лежит, вероятно, в области собственного поглощения. Поэтому полоса свечения 4.85 eV , возбуждаемая в основном в области длинноволнового хвоста собственной полосы поглощения, связана, по нашему мнению, с междоузельными ионами Li_i^+ . Хранение в темноте деформированного кристалла $\text{KBr}-\text{Li}$ при 300 K в течение четырех дней привело к двукратному уменьшению вызванного деформацией усиления интенсивности новых полос.

Это согласуется с представлением о том, что новыми дефектами, ответственными за полосы излучения 4.85 eV , в $\text{KBr}-\text{Li}$ являются одиночные ионы Li_i^+ .

При создании свободных экситонов (e^0) в $\text{KBr}-\text{Li}$ происходит излучательная аннигиляция экситонов, локализованных около новых Li_i^+ -дефектов $e^0(\text{Li}_i^+)$. При создании электронно-дырочных (e^-e^+) пар, вероятно, происходит локализация e^- на Li_i^+ , а локализация e^+ вблизи избыточного положительного заряда (Li_i^+) маловероятна. Такое предположение подтверждается в эксперименте по ТЛ и ЭРЛ $\text{KBr}-\text{Li}$ (кривые 3, 4 на рис. 1). Насмотря на увеличение концентрации Li_i^+ -дефектов для деформированного кристалла $\text{KBr}-\text{Li}$, в спектре ТЛ полоса свечения 4.85 eV отсутствует, а полоса свечения 2.75 eV наблюдается. Это означает, что при создании e^- , e^+ -пар в $\text{KBr}-\text{Li}$ свечение 4.85 eV возникает в результате дырочно-рекомбинационного процесса, т. е. последовательного захвата e^- с образованием Li_i^0 -центров и дальнейшим захватом дырки с образованием $e^0(\text{Li}_i^+)$.

Таким образом, при механическом воздействии на кристаллы $\text{KBr}-\text{Li}$ возникают междоузельные ионы Li_i^+ и v_c^- . Междоузельные ионы Li_i^+ являются, как и ионы Li^+ , ловушками для электронных возбуждений.

4. Как уже отмечалось выше, в KBr-Li полосы излучения с максимумами 4.85 eV и 2.75 eV возбуждаются в основном в длинноволновой части собственной полосы поглощения. Рассмотрим изменение интенсивностей полос излучения с максимумами 4.85 и 2.75 eV при возбуждении KBr-Li фотонами в максимумах спектров возбуждения этих полос излучений.

На рис. 3, а (кривые 7 и 8) приведены изменения интенсивностей полос излучения с максимумами 4.85 и 2.75 eV кристалла KBr-Li при облучении фотонами в длинноволновой области экситонного поглощения, которые прямо создают локализованные экситоны около примесных ионов Li^+ . Как видно из дозовой зависимости, интервал изменения интенсивности полосы излучения состоит из двух областей. В первой области происходят антибатные изменения интенсивностей полос излучения, т. е. уменьшение интенсивности свечения 2.75 eV и увеличение интенсивности свечения 4.85 eV, которые хорошо видны на спектрах излучения и возбуждения (кривые 3, 6; 1, 4 и 2, 5 на рис. 3). Такое антибатное изменение интенсивностей полос излучения при облучении кристаллов означает, по нашему мнению, во-первых, уменьшение концентрации ионов Li^+ в узлах кристаллической решетки, во-вторых, образование Li_i^+ -центров. Отсюда следует, что локализованные около ионов Li^+ экситоны кроме излучательной аннигиляции (свечение с максимумом 2.75 eV) распадаются на КФД с образованием Li_i^+ -центров (свечение с максимумом 4.85 eV) и v_c^- .

При дальнейшем увеличении дозы облучения происходит уменьшение интенсивностей обеих полос излучения. Такое сложное изменение интенсивностей полос свечения, по-видимому, вызвано двумя конкурирующими процессами, ведущими с увеличением дозы облучения: кроме процесса образования Li_i^+ -центров существует, по-видимому, процесс, который уменьшает концентрацию образованных Li_i^+ -центров. По аналогии с KCl-Na [16] для KBr-Li можно ожидать, что безызлучательная аннигиляция части околоситиевых экситонных возбуждений приводит кроме их распада на КФД и к их рападу на АФД с рождением пар дефектов: неподвижного F_A (Li)-центра и подвижного Н-центра. Если при распаде величина разлета дефектов в паре сравнима с расстояниями между ионами Li^+ в KBr, то, вероятнее всего, происходит локализация Н-центров около ионов Li^+ и возможна локализация около Li_i^+ -центров. Это и может привести к уменьшению интенсивностей полос свечения 2.75 и 4.85 eV в KBr-Li при больших дозах облучения (кривые 7, 8 на рис. 3).

По нашему мнению, междуузельные примесные Li_i^+ -центры являются, как и примесные ионы Li^+ , ловушками для междуузельных атомов и ионов галоида.

5. Для выяснения механизмов распада анионных электронных возбуждений на примесные КФД нами были измерены спектры создания Li_i^+ -центров в KBr-Li при 4.2 K. За меру числа созданных Li_i^+ -центров был принят прирост интенсивности полосы свечения с максимумом 4.85 eV при возбуждении фотонами с энергией 6.65 eV. Дозы облучения подобраны так, чтобы процесс образования Li_i^+ -центров преобладал над процессами, которые уменьшают концентрацию образованных Li_i^+ -центров. Такая доза при облучении кристаллов KBr-Li фотонами 6.65 eV в течение 60 min составляла $2 \cdot 10^{12}$ квантов на 1cm^2 .

Из спектра создания Li^+ в КBr-Li при 4.2 К, приведенного на рис. 3, а (кривая 10), следует, что междоузельные примесные катионы создаются в основном в области 6.7–6.5 eV согласно [17], в спектре поглощения КBr даже при 26 К собственное поглощение в области 6.7–6.5 eV меньше 10 cm^{-1} , а поглощение реальных кристаллов с содержанием примесей до 10^{-5} молярных долей является уже примесным. Как видно из спектра поглощения нашего чистого кристалла при 4.2 К (кривая 9 на рис. 3, б), работая с КBr-Li в области 6.7–6.5 eV мы имеем дело в основном с примесным (околопримесным) поглощением. В [13] для кристалла КBr высокой чистоты было показано, что процесс создания при 4.2 К ВУФ-радиацией α , I-пар имеет крайне низкую эффективность при возбуждении фотонами 6.5, 6.6 и 6.7 eV и становится легко измеримым при $h\nu \geq 6.75 \text{ eV}$ — в области собственного экситонного поглощения. Для KBr-Li (рис. 3) мы наблюдали возникновение Li^+ при создании ВУФ-радиацией электронных возбуждений, локализованных около ионов Li^+ в узлах кристаллической решетки. В кристаллах KCl ионы Li^+ занимают нецентральное положение в катионных узлах, в необлученных же кристаллах KBr при температуре жидкого гелия ионы Li^+ занимают центральное положение [18–20].

В чистых гранецентрированных кубических кристаллах автолокализованные экситоны ориентированы по направлениям (100), имея структуру $X_2^- e^-$. Как показано в эксперименте [16] и теоретических расчетах [21], эффективность распада таких автолокализованных экситонов в чистых ШГК на КФД при температуре 4.2 К очень низка. С повышением температуры эффективность распада автолокализованных экситонов на КФД увеличивается. Это объяснено для 4.2 К низкой эффективностью передачи импульса при распаде автолокализованных экситонов к ионам катиона основного вещества и малой вероятностью атермического разделения междоузельных атомов и ионов щелочного металла от вакансии, так как междоузельных катион не создает высокоподвижной краудионной конфигурации.

Ситуация изменяется, если рассматривать безызлучательный распад окололитиевых электронных возбуждений в KBr-Li. Известно [22], что в легированных литием гранецентрированных ШГК автолокализованные дырки (v_{KA} -центры) и междоузельные атомы галоида (H_A -центры) ориентированы под значительным углом к направлению (110), которое характерно для ориентации v_K - и H -центров в этих кристаллах. Естественно считать, что и для локализованных около иона лития экситонов их дырочная молекулярная компонента Br_2^- будет ориентирована не по (110), а под углом к этому направлению. Это должно способствовать передаче импульса при безызлучательном распаде окололитиевого экситона к катионам. Ионизационный потенциал свободных атомов Li^0 (5.39 eV) значительно больше, чем у атомов K^0 (4.34 eV). Поэтому электронная компонента окололитиевого экситона будет сильнее связана с ионом лития, чем с другими катионами, что будет способствовать передаче импульса именно иону лития. Благоприятно для достаточно долгой концентрации колебательной энергии на примесном ионе лития и то обстоятельство, что колебания легких ионов лития в матрице KBr имеют частоты больше предельной частоты колебаний матрицы, т. е. носят локальный характер. Наконец,

экстремально малый размер Li^+ (ионный радиус почти вдвое меньше, чем у катиона K^+) сопоставим с размером тетраэдрической пустоты в упаковке ионов брома в KBr . Это значительно облегчает перевод лития в междоузлие и его миграцию по кристаллической решетке при безызлучательном распаде окололитиевого экситона. Сказанное хорошо согласуется с теоретическими соображениями о создании КФД, высказанными в [21].

В заключение отметим, что описанный выше эффект создания междоузельных ионов Li^+ в кристаллах $\text{KBr}-\text{Li}$ при безызлучательном распаде околопримесного электронного возбуждения является одним из первых случаев четкого проявления возможности распада электронных возбуждений с рождением КФД, поиск которых ведется уже много лет (см., например, обзор [23]).

Авторы выражают благодарность акад. Ч.Б.Лущику, А.Ч.Лущику и С.Джуманову за обсуждение материалов статьи.

Список литературы

- [1] Varley J.H.O. *J. Nucl. Energy* **1**, 2, 130 (1954).
- [2] Лущик Ч.Б., Витол Н.К., Эланго М.А. *ФТТ* **10**, 9, 2753 (1968).
- [3] Йыги Х.Р., Лущик Ч.Б., Малышева А.Ф., Тийолер Э.С. *ФТТ* **14**, 1, 117 (1972).
- [4] Яансон Н.А., Гиндина Р.И., Лущик Ч.Б. *ФТТ* **16**, 2, 379 (1974).
- [5] Lushchik Ch.B., Elango A.A., Gindina R.I. *Semiconductors and Insulators* **5**, 2, 133 (1980).
- [6] Känzig W. *J. Phys. Chem. Sol.* **17**, 12, 88 (1960).
- [7] Etsel H.W., Schulman I.H. *J. Chem. Phys.* **22**, 1549 (1954).
- [8] Арапов Б., Осконбаев М.Ч., Камалов С. *ФТТ* **33**, 11, 3158 (1991).
- [9] Галаганов В.Г., Осмоналиев К., Васильченко Е.А. *Тр. ИФ АН ЭССР* **61**, 105 (1987).
- [10] Тайиров М.М., Жумабеков З.А. *ФТТ* **35**, 7, 1785 (1993).
- [11] Гиндина Р.И., Маароо А.А., Плоом Л.А., Яансон Н.А. *Тр. ИФ АН ЭССР* **49**, 45 (1979).
- [12] Андреев Г.А. *ФТТ* **11**, 5, 1412 (1969).
- [13] Тайиров М.М., Васильченко Е.А. *Тр. ИФ АН ЭССР* **61**, 82 (1987).
- [14] Тайиров М.М. *ФТТ* **25**, 2, 450 (1983).
- [15] Валбис Я.А. *Опт. и спектр.* **21**, 2, 184 (1966).
- [16] Лущик Ч.Б., Гиндина Р.И., Лущик Н.Е., Тайиров М.М., Шункеев К.Ш. *Труды МФ АН ЭССР* **53**, 146 (1982).
- [17] Tomiki T., Miyata T., Tsukamoto H. *Z. Naturforsch.* **29a**, 145 (1974).
- [18] Wilson W.D., Hatcher R.D., Dienes G.J., Smoluchowski R. *Phys. Rev.* **161**, 3, 888 (1967).
- [19] Harrison J.P., Peressini P.P., Pohl R.O. *Phys. Rev.* **171**, 3, 1037 (1968).
- [20] Quigley R.J., Das T.P. *Phys. Rev.* **177**, 3, 1340 (1969).
- [21] Vakhidov Sh.A., Dzhumanov S. *Phys. Stat. Sol. (b)* **100**, 1, K17 (1980).
- [22] Schoemaker D. *Defects and their structure in nonmetallic solids* / Ed. B.Henderson, A.E.Hughes. N.Y.-London (1976). P. 173.
- [23] Лущик Ч.Б., Гиндина Р.И., Йыги Х.В., Плоом Л.А., Пунг Л.А., Тийслер Э.С., Эланго А.А., Яансон Н.А. *Тр. ИФ АН ЭССР* **43**, 7 (1975).